

УДК 539.3

А. Г. ХАКИМОВ

ДИНАМИКА ПРОСТРАНСТВЕННЫХ УПРУГИХ И УПРУГОПЛАСТИЧЕСКИХ ТЕЛ

Разработаны методы и алгоритмы расчета пространственных задач упруго-пластического деформирования твердых тел. Построены конечно-разностные уравнения типа Уилкинса для решения динамических трехмерных задач с учетом теплопроводности при различных граничных условиях и решен пример. Большие перемещения; упругие и упругопластические тела; пространственные задачи

В разработке различных математических моделей процессов деформирования пространственных твердых тел используют различные теоретические и практические подходы. Численный алгоритм [1] разработан для решения осесимметричных и плоских динамических задач, кроме того, он позволяет решать квазистационарные задачи.

В данной работе приводится постановка и алгоритм численного решения задачи упругопластического деформирования пространственных твердых тел методом естественной аппроксимации производных.

ПОСТАНОВКА ЗАДАЧИ

Основные уравнения. Основные уравнения, описывающие движение элемента твердого деформируемого тела, в прямоугольных декартовых координатах x^i ($i = 1, 2, 3$) имеют вид:

- уравнения движения

$$\frac{\partial T_{ij}}{\partial x^j} = \rho \ddot{x}^i, \quad (i = 1, 2, 3),$$

- уравнение неразрывности

$$\frac{\dot{V}}{V} = \frac{\partial \dot{x}^i}{\partial x^i},$$

- уравнение энергии (суммированное по повторяющимся индексам)

$$\dot{E} = -(P + q)\dot{V} + \frac{1}{2}V(S_{ij}\dot{\varepsilon}_{ij} + S_{ii}\dot{\varepsilon}_{ii}),$$

- уравнения состояния: компоненты девиатора напряжений

$$\dot{S}_{ij} = \mu[(1 + \delta_{ij})\dot{\varepsilon}_{ij} - \frac{1}{3}\delta_{ij}\frac{\dot{V}}{V}] + \nu_{ij},$$

($i, j = 1, 2, 3$; не суммировать!)

- относительные деформации

$$\begin{aligned} \dot{\varepsilon}_{ii} &= \frac{\partial \dot{x}^i}{\partial x^i}, \quad (\text{не суммировать!}) \\ \dot{\varepsilon}_{ij} &= \frac{1}{2} \left(\frac{\partial \dot{x}^i}{\partial x^j} + \frac{\partial \dot{x}^j}{\partial x^i} \right), \quad (i \neq j), \end{aligned}$$

- гидростатическое давление (среднее напряжение)

$$\begin{aligned} P &= -k(\ln V - 3\alpha T), \\ P &= -\frac{\sigma_t}{3}, \quad V \geq \exp \left(\frac{\sigma_t}{3k} + 3\alpha T \right), \end{aligned}$$

- линейная и квадратичная искусственная вязкость

$$\begin{aligned} q_L &= \frac{a C_L \rho_0 \sqrt[3]{A}}{V} \cdot \left| \frac{\dot{V}}{V} \right|, \\ q_k &= \frac{C_0^2 \rho_0 \sqrt[3]{A^2}}{V} \cdot \left| \frac{\dot{V}}{V} \right|^2, \end{aligned}$$

- нормальные напряжения

$$T_{ij} = S_{ij} - (P + q), \quad i = j,$$

- условие пластичности Мизеса

$$S_{ij} S_{ij} - \frac{2}{3} \sigma_t^2 \leq 0,$$

- уравнение теплопроводности

$$\rho_0 c \frac{\partial T}{\partial t} = \lambda_1 \nabla^2 T + \dot{E}.$$

Здесь T_{ij} , S_{ij} , ε_{ij} — компоненты тензора напряжений, девиатора напряжений, тензора

деформаций в сокращенной записи ($i, j = 1, 2, 3$), δ_{ij} — символ Кронекера, ν_{ij} — поправки на поворот, P — среднее напряжение, взятое со знаком минус, $q = q_L + q_k$ — искусственная вязкость, σ_T — предел текучести материала, V — относительный объем, ρ, ρ_0 — плотность и ее начальное значение, E — внутренняя энергия на единицу начального объема, k, μ — модули объемного сжатия и сдвига, α — коэффициент линейного расширения, c — удельная теплоемкость, λ_1 — коэффициент теплопроводности, T — изменение температуры от стандартного значения, равного 288,15 К, t — время, ∇ — оператор Лапласа, C_0, C_L — постоянные, a — скорость звука, A — объем ячейки, точка над величинами означает производную по времени.

Границные условия. На свободной поверхности $\sigma = \tau = 0$, σ, τ — нормальное и касательное напряжения, которые определяются выражениями

$$\begin{aligned}\sigma &= \sigma_{11}, & \tau &= \sqrt{\sigma_{12}^2 + \sigma_{13}^2}, \\ \sigma_{kl} &= T_{ijk} l_{ki} l_{lj}, & T_{ij} &= \sigma_{kl} l_{ki} l_{lj}.\end{aligned}$$

Здесь σ_{kl} — тензор напряжений, определенный в системе прямоугольных координат \bar{x}^k , l_{ki} — направляющие косинусы осей новой системы координат; формулы перехода от одной системы координат к другой и обратно имеют вид

$$\bar{x}^k = l_{ki} x^i, \quad x^i = l_{ki} \bar{x}^k,$$

Неподвижная произвольная граница, заданная уравнением

$$f(x^i) = 0,$$

а) гладкая поверхность

$$\tau = 0, \quad \frac{\partial f}{\partial x^i} \dot{x}^i = 0,$$

б) прилипание

$$\sigma < 0, \quad \tau < f_1 |\sigma|, \quad \dot{x}^i = 0,$$

где f_1 — коэффициент трения скольжения,

в) скольжение с трением

$$\sigma < 0, \quad \tau = f_1 |\sigma|, \quad \frac{\partial f}{\partial x^i} \dot{x}^i = 0,$$

г) отрыв тела от границы

$$\sigma = 0, \quad \tau = 0.$$

Подвижная граница, параллельная плоскости $x^i = 0$: $\sigma = 0, \tau = 0$ — отрыв тела от границы; $\sigma < 0, \tau < f_1 |\sigma|, \dot{x}^i = V_i$ — прилипание; $\sigma < 0, \tau = f_1 |\sigma|, \dot{x}^i = V_i$ — скольжение с трением, где V_i — скорость перемещения границы вдоль оси x^i .

Подвижная произвольная граница, заданная уравнениями

$$x_\Gamma^i = x_\Gamma^i(\alpha^m, t),$$

где α^m ($m = 1, 2$) — криволинейные лагранжиевы координаты на подвижной границе;

а) прилипание

$$\dot{\mathbf{r}} = \dot{\mathbf{r}}_\Gamma, \quad \mathbf{r} = \mathbf{r}_\Gamma,$$

б) скольжение с трением

$$(\dot{\mathbf{r}} - \dot{\mathbf{r}}_\Gamma) \left(\frac{\partial \mathbf{r}_\Gamma}{\partial \alpha^1} \times \frac{\partial \mathbf{r}_\Gamma}{\partial \alpha^2} \right) = 0, \quad \mathbf{r} = \mathbf{r}_\Gamma,$$

в) отрыв тела от границы

$$\sigma = 0, \quad \tau = 0,$$

где $\mathbf{r} = x^i \mathbf{i}_i$, $\mathbf{r}_\Gamma = x_\Gamma^i \mathbf{i}_i$, \mathbf{i}_i — орты прямогоугольной декартовой системы координат, $\mathbf{r}, \mathbf{r}_\Gamma$ — радиусы-векторы точек на поверхности твердого деформируемого тела и на подвижной границе.

Границные условия для температурного поля. Температура на границе задана

$$T(x_\Gamma^i) = T_0,$$

где T_0 — заданная температура.

Теплообмен с окружающей средой описывается выражением

$$-\lambda_1 \frac{\partial T}{\partial x^i} l_{ki} = \alpha_C (T - T_C),$$

где T_C — температура окружающей среды, l_{ki} — направляющие косинусы внешней нормали к поверхности твердого тела, α_C — коэффициент теплообмена с окружающей средой. Для теплоизолированной поверхности $\alpha_C = 0$.

Идеальный контакт двух тел

$$T_1 = T_2, \quad \lambda_1 \frac{\partial T_1}{\partial x^i} l_{ki}^1 = -\lambda_2 \frac{\partial T_2}{\partial x^i} l_{ki}^2,$$

где индексы «1», «2» относятся к параметрам первого и второго тела.

Выделение тепла на границе

$$\lambda_1 \frac{\partial T_1}{\partial x^i} l_{ki}^1 + \lambda_2 \frac{\partial T_2}{\partial x^i} l_{ki}^2 = Q, \quad Q = \tau V_\tau,$$

$$T_2 = T_1 + \rho_1 \lambda_1 \frac{\partial T_1}{\partial x^i} l_{ki}^1 + \rho_2 \lambda_2 \frac{\partial T_2}{\partial x^i} l_{ki}^2,$$

$$V_\tau = |\dot{r}_1 - \dot{r}_2|,$$

где V_τ — скорость относительного перемещения на границе первого тела относительно второго, ρ — термическое сопротивление, Q — количество тепла, выделяющегося на границе за единицу времени на единице площади.

Начальные условия. В начальный момент времени известно положение твердого тела, поле скоростей, деформаций, напряжений, температур, энергий, относительных объемов, распределение массы

$$\begin{aligned} t = 0, \quad T_{ij} &= T_{0ij}, \quad \varepsilon_{ij} = \varepsilon_{0ij}, \\ T = T_0, \quad E &= E_0, \quad V = V_0, \\ P = P_0, \quad \dot{x}^i &= (\dot{x}^i)_0, \quad x^i = x^i(\theta^j, 0), \\ (j = 1, 2, 3), \end{aligned}$$

где индекс «0» относится к параметрам твердого тела в начальный момент времени, θ^j — лагранжевы координаты твердого тела.

Если ввести безразмерные величины

$$\begin{aligned} \bar{x}^i &= x^i/L, \quad \bar{T}_{ij} = T_{ij}/\sigma_T, \quad \bar{S}_{ij} = S_{ij}/\sigma_T, \\ \bar{P} &= P/\sigma_T, \quad \bar{q} = q/\sigma_T, \quad \bar{k} = k/\sigma_T, \\ \bar{\mu} &= \mu/\sigma_T, \quad \bar{t} = ta/L, \quad \bar{\rho} = \rho a^2/\sigma_T, \\ \bar{T} &= T/T^*, \quad \bar{\alpha} = \alpha T^*, \quad \bar{c} = c T^*/a^2, \\ \bar{\lambda}_1 &= \lambda_1 T^*/(a L \sigma_T), \quad \bar{\alpha}_T = \alpha_c T^*/(a \sigma_T), \end{aligned}$$

то вид основных уравнений не изменяется (далее черточки над безразмерными величинами пропускаются). Здесь L — характерный размер, T^* — характерная температура, a — скорость звука.

КОНЕЧНО-РАЗНОСТНАЯ СХЕМА ДЛЯ РАСЧЕТА НАПРЯЖЕННО- ДЕФОРМИРОВАННОГО СОСТОЯНИЯ ПРОСТРАНСТВЕННЫХ ОБЪЕКТОВ

Воспользуемся следующим интегральным определением частной производной функции F

$$\frac{\partial F}{\partial x^i} = \lim_{A \rightarrow 0} \frac{\oint F(\mathbf{n} \cdot \mathbf{i}_i) ds}{A}, \quad \mathbf{n} = \frac{ds}{ds},$$

где A — объем, ограниченный поверхностью s , ds — вектор-элемент поверхности (вектор площадки), \mathbf{n} — орт внешней нормали к поверхности.

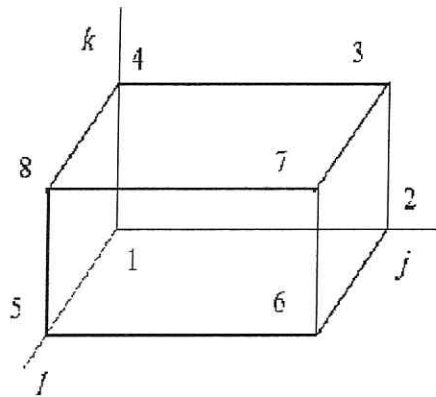


Рис. 1

Применяя эти формулы к гексаэдру, объем которого равен A (рис. 1), для функции F , определенной в вершинах 1–8, получим

$$\frac{\partial F}{\partial x^i} = \frac{1}{A} \sum_{m=1}^{12} F_m s_{mi},$$

где

$$\begin{aligned} F_1 &= (F^1 + F^2 + F^4)/3, \dots, \\ s_{1i} &= 0,5(\mathbf{r}_{14} \times \mathbf{r}_{12})_i, \dots, \end{aligned}$$

$$\begin{aligned} A &= \frac{1}{6}(\mathbf{r}_{12} \times \mathbf{r}_{14} \cdot \mathbf{r}_{15} + \mathbf{r}_{76} \times \mathbf{r}_{78} \cdot \mathbf{r}_{73} + \\ &\quad + \mathbf{r}_{34} \times \mathbf{r}_{32} \cdot \mathbf{r}_{38} + \mathbf{r}_{58} \times \mathbf{r}_{56} \cdot \mathbf{r}_{52} + \\ &\quad + \mathbf{r}_{26} \times \mathbf{r}_{23} \cdot \mathbf{r}_{28} + \mathbf{r}_{85} \times \mathbf{r}_{84} \cdot \mathbf{r}_{82}), \end{aligned}$$

$$r_{lm} = (\mathbf{x}_m^i - \mathbf{x}_l^i)\mathbf{i}_i,$$

$$\begin{aligned} \mathbf{r}_{ij} \times \mathbf{r}_{kl} \cdot \mathbf{r}_{mn} &= \\ &= \begin{vmatrix} x_n^1 - x_m^1 & x_n^2 - x_m^2 & x_n^3 - x_m^3 \\ x_j^1 - x_i^1 & x_j^2 - x_i^2 & x_j^3 - x_i^3 \\ x_l^1 - x_k^1 & x_l^2 - x_k^2 & x_l^3 - x_k^3 \end{vmatrix}. \end{aligned}$$

Таким образом, эти величины дают производные в центре гексаэдра, с помощью которых можно получить выражения для производных $\frac{\partial \dot{x}^1}{\partial x^1}$, $\frac{\partial \dot{x}^2}{\partial x^2}$, $\frac{\partial \dot{x}^3}{\partial x^3}$ в заданной точке пространства в заданный момент времени. В используемой далее разностной схеме расчета определяются значения скоростей при приращении времени на полшага и значения пространственных координат при изменении времени на полный шаг. Значения пространственных координат и объем гексаэдра при приращении времени на полшага определяются по формулам

$$\begin{aligned} (x^i)^{n+1/2} &= 0,5[(x^i)^{n+1} + (x^i)^n], \\ A^{n+1/2} &= 0,5(A^{n+1} + A^n), \end{aligned}$$

где $(x^i)^n$, $(x^i)^{n+1}$, A^n , A^{n+1} — координаты точек и объемы гексаэдров в моменты времени t^n и t^{n+1} соответственно. Тогда конечно-разностные соотношения приводят к точному равенству

$$\frac{\partial \dot{x}^i}{\partial x^i} = \frac{\dot{A}}{A},$$

которое равносильно уравнению неразрывности.

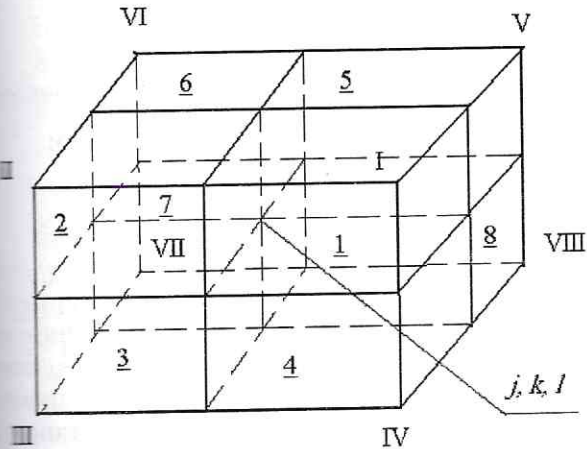


Рис. 2

Для вычисления производных в узловой точке j, k, l используются значения функции в окружающих эту точку гексаэдрах $\underline{1}, \underline{2}, \dots, \underline{8}$ (рис. 2), причем

$$\begin{aligned} \underline{1} &\equiv j + 1/2, k + 1/2, l + 1/2; \dots \\ \underline{1} &\equiv j, k, l; \dots \\ I &\equiv j + 1, k + 1, l + 1; \dots, \end{aligned}$$

поэтому

$$\begin{aligned} \left(\frac{\partial F}{\partial x^i} \right)_{j,k,l} &= \frac{1}{B} \sum_{n=1}^8 F_n S_{n,i}, \quad B = \sum_{n=1}^8 A_n, \\ S_I &= S_{34} + S_{78} + S_{1112}, \dots, \\ S_{12} &= S_1 + S_2, \dots \end{aligned}$$

Конечно-разностные уравнения. Область, занятая телом, делится на гексаэдры сеткой $j-k-l$, которая движется вместе с телом (рис. 2). Масса, соответствующая каждому гексаэдру в начальный момент времени, определяется умножением начальной плотности на объем гексаэдра. Например, масса в начальный момент времени для гексаэдра $\underline{1}$ вычисляется по формуле

$$M_1 = \left(\frac{\rho_0}{V_0} \right)_1.$$

Массы M_2, M_3, \dots, M_8 вычисляются аналогично.

Сохранение массы

$$V_1^n = \left(\frac{\rho_0}{M} \right)_1 A_1^n, \quad V_1^n = \left(\frac{\rho_0}{\rho^n} \right)_1.$$

Уравнения движения

$$\begin{aligned} (\dot{x}^i)_{j,k,l}^{n+1/2} &= (\dot{x}^i)_{j,k,l}^{n-1/2} + \frac{\Delta t^n}{\rho_{j,k,l}} \left(\frac{\partial T_{ij}}{\partial x^j} \right)_{j,k,l}^n, \\ \rho_{j,k,l} &= \frac{1}{8B} \sum_{m=1}^8 \rho_m A_m, \\ (x^i)_{j,k,l}^{n+1} &= (x^i)_{j,k,l}^n + (\dot{x}^i)_{j,k,l}^{n+1/2} \Delta t^{n+1/2}. \end{aligned}$$

Деформации

$$\begin{aligned} (\dot{\varepsilon}_{ii})_1^{n+1/2} &= \left(\frac{\partial \dot{x}^i}{\partial x^i} \right)_1^{n+1/2} \text{(не суммировать!),} \\ (\dot{\varepsilon}_{ij})_1^{n+1/2} &= \frac{1}{2} \left(\frac{\partial \dot{x}^i}{\partial x^j} + \frac{\partial \dot{x}^j}{\partial x^i} \right)_1^{n+1/2}, \quad (i \neq j), \\ A_1^{n+1/2} &= 0,5(A_1^{n+1} + A_1^n), \\ (\Delta \varepsilon_{ii})_1^{n+1/2} &= (\dot{\varepsilon}_{ii})_1^{n+1/2} \Delta t^{n+1/2} \text{(не суммировать!),} \\ (\Delta \varepsilon_{ij})_1^{n+1/2} &= (\dot{\varepsilon}_{ij})_1^{n+1/2} \Delta t^{n+1/2}, \quad (i \neq j), \\ \left(\frac{\dot{V}}{V} \right)_1^{n+1/2} &= (\dot{\varepsilon}_{ii})_1^{n+1/2}, \\ \left(\frac{\Delta V}{V} \right)_1^{n+1/2} &= \left(\frac{\dot{V}}{V} \right)_1^{n+1/2} \Delta t^{n+1/2} = \frac{V_1^{n+1} - V_1^n}{V_1^{n+1/2}}, \\ V_1^{n+1/2} &= 0,5(V_1^{n+1} + V_1^n). \end{aligned}$$

Напряжения

$$\begin{aligned} (S'_{ii})_1^{n+1} &= (S_{ii})_1^n + 2\mu \left[(\Delta \varepsilon_{ii}) - \frac{1}{3} \cdot \frac{\Delta V}{V} \right]_1^{n+1/2} + \\ &\quad + (\nu'_{ii})_1^n, \quad \text{(не суммировать!),} \\ (S'_{ij})_1^{n+1} &= (S_{ij})_1^n + \mu (\Delta \varepsilon_{ij})_1^{n+1/2} \psi'_{ij} + (\nu'_{ij})_1^n, \\ \psi'_{12} &= 1, \quad \psi'_{13} = \psi'_{23} = 0, \\ (\nu'_{11})_1^n &= \frac{(S_{11})_1^n - (S_{22})_1^n}{2} \left[(l'^2_{11} - l'^2_{12}) - 1 \right] + \\ &\quad + 2(S_{12})_1^n l'^2_{11} l'^2_{12}, \\ (\nu'_{22})_1^n &= -(\nu'_{11})_1^n, \quad (\nu'_{33})_1^n = 0, \\ (\nu'_{12})_1^n &= (S_{12})_1^n [(l'^2_{11} - l'^2_{12}) - 1] - \\ &\quad - [(S_{11})_1^n - (S_{22})_1^n] l'^2_{11} l'^2_{12}, \\ (\nu'_{23})_1^n &= (S_{23})_1^n (l'^2_{11} - 1) - (S_{13})_1^n l'^2_{12}, \\ (\nu'_{13})_1^n &= (S_{13})_1^n (l'^2_{11} - 1) + (S_{23})_1^n l'^2_{12}, \\ l'^2_{11} &= \cos \omega_3, \quad l'^2_{12} = \sin \omega_3, \quad \omega_3 = -\omega_{3y}, \end{aligned}$$

$$\begin{aligned} \sin \omega_{3y} &= \frac{\Delta t^{n+1/2}}{2} \left(\frac{\partial \dot{x}^2}{\partial x^1} - \frac{\partial \dot{x}^1}{\partial x^2} \right)_1^{n+1/2}, \\ (S''_{ii})_1^{n+1} &= (S'_{ii})_1^{n+1} + (\nu''_{ii})_1^{n+1} \text{ (не суммировать!),} \\ (S''_{ij})_1^{n+1} &= (S'_{ij})_1^{n+1} + \mu(\Delta \varepsilon_{ij})_1^{n+1/2} \psi''_{ij} + (\nu''_{ij})_1, \\ \psi''_{23} &= 1, \quad \psi''_{12} = \psi''_{13} = 0, \\ (\nu''_{ij})_1^{n+1} &= (S'_{kl})_1^{n+1} (l''_{ki} l''_{lj} - 1), \\ l''_{ki} &= \begin{Bmatrix} 1 & 0 & 0 \\ 0 & l''_{22} & l''_{23} \\ 0 & l''_{32} & l''_{33} \end{Bmatrix}, \\ l''_{22} &= \cos \omega_1, \quad l''_{23} = \sin \omega_1, \quad l''_{32} = -l''_{23}, \\ l''_{33} &= l''_{22}, \quad \omega_1 = -\omega_{1y}, \\ \sin \omega_{1y} &= \frac{\Delta t^{n+1/2}}{2} \left(\frac{\partial \dot{x}^3}{\partial x^2} - \frac{\partial \dot{x}^2}{\partial x^3} \right)_1^{n+1/2}, \\ (S_{ii})_1^{n+1} &= (S''_{ii})_1^{n+1} + (\nu'''_{ii})_1^{n+1}, \\ &\quad \text{(не суммировать!),} \\ (S_{ij})_1^{n+1} &= (S''_{ij})_1^{n+1} + \mu(\Delta \varepsilon_{ij})_1^{n+1/2} \psi'''_{ij} + (\nu'''_{ij})_1, \\ \psi'''_{13} &= 1, \quad \psi'''_{12} = \psi'''_{23} = 0, \\ (\nu'''_{ij})_1^{n+1} &= (S'_{kl})_1^{n+1} (l'''_{ki} l'''_{lj} - 1), \\ l'''_{ki} &= \begin{Bmatrix} l'''_{11} & 0 & l'''_{13} \\ 0 & 1 & 0 \\ l'''_{31} & 0 & l'''_{33} \end{Bmatrix}, \\ l'''_{11} &= \cos \omega_2 = l'''_{33}, \quad l'''_{13} = \sin \omega_2, \\ l'''_{31} &= -l'''_{13}, \quad \omega_2 = -\omega_{2y}, \\ \sin \omega_{2y} &= \frac{\Delta t^{n+1/2}}{2} \left(\frac{\partial \dot{x}^1}{\partial x^3} - \frac{\partial \dot{x}^3}{\partial x^1} \right)_1^{n+1/2}, \\ P_1^{n+1} &= -k \ln V_1^{n+1}, \\ q_1^{n+1/2} &= \left[C_L + C_0^2 \left(A_1^{n+1/2} \right)^{2/3} \left| \frac{\dot{V}}{V} \right|_1^{n+1/2} \right] \times \\ &\quad \times \left(\rho^0 \sqrt[3]{A} \left| \frac{\dot{V}}{V} \right|_1^{n+1/2} \right), \\ (T_{ii})_1^{n+1} &= (S_{ii})_1^{n+1} - (P_1^{n+1} + q_1^{n+1/2})_1. \end{aligned}$$

Условие пластичности Мизеса

$$K_1^{n+1} = (S_{ij})_1^{n+1} (S_{ij})_1^{n+1} - 2\sigma_T/3.$$

Если $K_1^{n+1} > 0$, то каждое из напряжений S_{ij} умножается на $(2S_{ij} S_{ij}/3)^{1/2} \sigma_T$. Если же $K_1^{n+1} < 0$, то напряжения не изменяются.

Уравнение энергии элемента твердого деформируемого тела

$$\begin{aligned} (E)_1^{n+1} &= (E)_1^n - [-0,5k(\ln V^{n+1} + \ln V^n)_1 + \\ &\quad + 3k\alpha T_1^n - q_1^{n+1/2}] \cdot (V^{n+1} - V^n)_1 + \\ &\quad + 0,5V_1^{n+1/2} \times (S_{ij}\Delta\varepsilon_{ij} + S_{ii}\Delta\varepsilon_{ii})_1^{n+1/2}, \\ S_{ii}\Delta\varepsilon_{ii} &= S_{11}\Delta\varepsilon_{11} + S_{22}\Delta\varepsilon_{22} + S_{33}\Delta\varepsilon_{33}. \end{aligned}$$

Уравнение теплопроводности

$$\begin{aligned} T_1^{n+1} &= T_1^n + \psi_1(E^{n+1} - E^n)_1 + \\ &\quad + \frac{\chi_1}{AB} \sum_{m=1}^{12} \left(\sum_{j=1}^8 T_j S_{j,i} \right)^m S_m, \end{aligned}$$

$$\text{где } \psi_1 = \frac{1}{\rho_{10}^c}, \quad \chi_1 = \psi_1(\lambda_1)_1 \Delta t^{n+1/2}.$$

Устойчивость алгоритма численного расчета

$$\Delta t^{n+3/2} = \frac{1}{3} \cdot \frac{d_{\min}}{\sqrt{a^2 + b^2}} \Big|_{(\min \text{ по } j,k,l)}.$$

Если $\Delta t^{n+3/2} > 1,1 \Delta t^{n+1/2}$, то полагаем

$$\Delta t^{n+3/2} = 1,1 \Delta t^{n+1/2},$$

$$\Delta t^{n+1} = \frac{1}{2} (\Delta t^{n+3/2} + \Delta t^{n+1/2}).$$

Здесь a — скорость звука, d_{\min}^{n+1} — длина меньшей диагонали гексаэдра, $b = 8C_0 d_{\min}^{n+1} (\dot{V}/V)_1^{n+1/2}$, $b = 0$, $\dot{V}/V \geq 0$.

Границные условия в конечных разностях. Свободная поверхность. Для узловой точки j, k, l свободной поверхности на грани 1234 суперэлемента (рис. 3) все величины, относящиеся к воображаемым ячейкам 5, 6, 7, 8, принимаются равными нулю. Далее используются уравнения движения для обычной точки. Аналогично проводятся вычисления для точек свободной поверхности, находящихся на ребре 12 или вершине 1 суперэлемента.

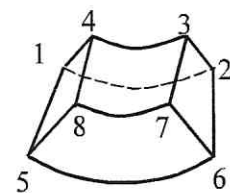


Рис. 3

Прилипание к подвижной поверхности. В этом случае скорость узловой точки j, k, l на грани, ребре или вершине суперэлемента определяется по формулам

$$\begin{aligned} (\dot{x}^i)_{j,k,l}^{n+1/2} &= \dot{x}_r^i(\alpha^m, t^{n+1/2}), \\ (\dot{x}^i)_{j,k,l}^{n+1/2} &= x_r^i(\alpha^m, t^{n+1/2}). \end{aligned}$$

Скольжение относительно подвижной границы. Орт внешней нормали к поверхности

$$\mathbf{n} = \pm \frac{\partial \mathbf{r}_r}{\partial \alpha^1} \times \frac{\partial \mathbf{r}_r}{\partial \alpha^2} \Big/ \left| \frac{\partial \mathbf{r}_r}{\partial \alpha^1} \times \frac{\partial \mathbf{r}_r}{\partial \alpha^2} \right|.$$

Далее вводится новая система координат \bar{x}^i , причем ось \bar{x}^1 направлена по внешней нормали к границе твердого тела, ось \bar{x}^2 находится в плоскости \bar{x}^1Ox^3 . Напряжения в системе координат \bar{x}^i определяются по формулам

$$\sigma_{kl} = T_{ij} l_{ki} l_{lj},$$

где $l_{1i} = n_i$, $l_{21} = l_{13} l_{11} / (1 - l_{13}^2)^{1/2}$,

$$l_{22} = l_{13} \sqrt{1 - \frac{l_{11}^2}{1 - l_{13}^2}}, \quad l_{23} = -(1 - l_{13}^2)^{1/2},$$

$$l_{31} = l_{12} l_{23} - l_{22} l_{13}, \quad l_{32} = l_{13} l_{21} - l_{22} l_{11},$$

$$l_{33} = l_{11} l_{22} - l_{21} l_{12}.$$

Максимальное касательное напряжение на подвижной границе находится как

$$\tau = \sqrt{\sigma_{12}^2 - \sigma_{13}^2}.$$

Если $\tau > f_1 |\sigma_{11}|$, то напряжения σ_{12}^2 и σ_{13}^2 умножаются на множитель $f_1 |\sigma_{11}| / \tau$. Если $\tau \leq f_1 |\sigma_{11}|$, то напряжения остаются без изменения. При изменении напряжений производится вычисление напряжений в системе координат x^i по формулам $T_{ij} = \sigma_{kl} l_{ki} l_{lj}$. Далее проводится определение скоростей узловых точек на подвижной границе в соответствии с кинематическим граничным условием.

Границные условия для температурного поля в конечно-разностном виде. Если температура на границе задана, то температура граничных узловых точек равна T_0 . Температура граничных ячеек находится с помощью уравнения теплопроводности для соответствующих теплофизических параметров границы.

Начальные условия. Начальные условия в конечно-разностном виде записываются в виде

$$t = 0, \quad (T_{ij})_{0(1)} = T_{ij0}, \\ (x^i)_{0jkl} = x^i(\theta^j, 0), \quad (\dot{x}^i)_{0jkl} = \dot{x}^i(\theta^j, 0), \dots$$

Конечный элемент — гексаэдр. Рассматривается определение координат узловых точек конечного элемента в более общем виде (рис. 3). Пусть известны координаты вершин x_m^i ($m = 1, 2, \dots, 8$) конечного элемента — суперэлемента, радиусы кривизн ребер 12, 34, 56, 78; остальные ребра прямолинейные. Координаты узловых точек ребра 12 определяются

$$x_{12j}^i = x_1^i + l_{ki}^{12} \xi_{12j}^k, \quad j_1 \leq j \leq j_2,$$

где l_{ki}^{12} — направляющие косинусы осей ξ^k относительно осей x^i , ξ^k — прямоугольная си-

стема координат с началом в вершине 1 суперэлемента, причем ось ξ^1 проходит через вершину 2, ось ξ^3 направлена по внешней нормали к грани 1234, а ось ξ^2 направлена так, что система координат ξ^k является правой, ξ_{12j}^k — координаты узловых точек ребра 12 в системе координат ξ^k , j_1, j_2 — значения j на гранях 1584 и 2376 соответственно. Координаты узловых точек на ребрах 34, 56, 78 определяются аналогично:

$$x_{43j}^i = x_4^i + l_{ki}^{43} \xi_{43j}^k, \quad x_{56j}^i = x_5^i + l_{ki}^{56} \xi_{56j}^k, \\ x_{87j}^i = x_8^i + l_{ki}^{87} \xi_{87j}^k, \quad j_1 \leq j \leq j_2.$$

Причем

$$\begin{aligned} \xi_{12j}^1 &= \xi_O^1 + R_{12} N_{P12} \sin \beta_j, \\ \xi_{12j}^2 &= \xi_O^2 + R_{12} N_{P12} \sin \beta_j, \\ \xi_{12j}^3 &= 0, \quad \beta_j = -\frac{\alpha}{2} + \Delta \alpha (j - j_1), \\ a &= \xi_2^1 / 2, \quad \xi_2^1 = \sqrt{(x_2^i - x_1^i) \cdot (x_2^i - x_1^i)}, \\ \alpha &= 2 \arcsin \left(\frac{a}{R_{12}} \right) N_{P12}, \\ \Delta \alpha &= \alpha / (j_2 - j_1), \\ b &= \sqrt{R_{12}^2 - a^2}, \quad \xi_O^1 = a, \quad \xi_O^2 = b N_{P12}. \end{aligned}$$

Здесь ξ_O^k — координаты центра окружности, a, b — линейные размеры (рис. 4), α , β_j — углы, R_{12} — радиус кривизны ребра 12, N_{P12} — функция знака кривизны, причем $N_{P12} = -1, 0, +1$. Если $N_{P12} = 0$, то ребро 12 является прямолинейным.

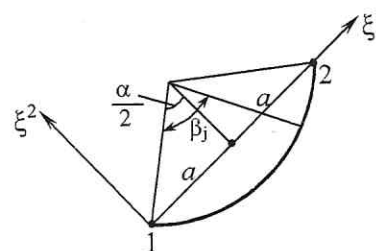


Рис. 4

Направляющие косинусы l_{ki}^{12} определяются

$$\begin{aligned} l_{1i} &= (x_2^i - x_1^i) / |\mathbf{r}_{12}|, \\ l_{3i} &= (\mathbf{r}_{12} - \mathbf{r}_{14})_i / |\mathbf{r}_{12} \times \mathbf{r}_{14}|, \\ l_{21} &= l_{32} l_{13} - l_{33} l_{12}, \\ l_{22} &= l_{33} l_{11} - l_{31} l_{13}, \\ l_{23} &= l_{31} l_{12} - l_{32} l_{11}, \end{aligned}$$

где $\mathbf{r}_{12}, \mathbf{r}_{14}$ — радиусы-векторы, направленные от вершины 1 к вершинам 2 и 4 суперэлемента.

Координаты узловых точек на гранях 1234 и 5678 находятся по формулам

$$x_{1234jk}^i = x_{12j}^i + \frac{x_{43j}^i - x_{12j}^i}{k_2 - k_1}(k - k_1),$$

$$k_1 \leq k \leq k_2,$$

где k_1, k_2 — значения k на гранях 1256, 3478 соответственно.

Координаты узловых точек суперэлемента определяются выражением

$$x_{jkl}^i = x_{1234jk}^i + \frac{x_{5678jk}^i - x_{1234jk}^i}{l_2 - l_1}(l - l_1),$$

$$l_1 \leq l \leq l_2,$$

где l_1, l_2 — значения l для узловых точек на гранях 1234 и 5678 соответственно.

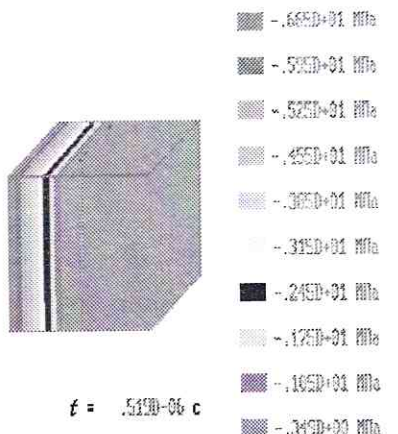


Рис. 5

Проведение расчетов даже с рассмотренным выше суперэлементом, включающим задание координат его восьми вершин и радиусов кривизны ребер, является трудоемкой работой, поэтому в последующих задачах целесообразно рассматривать типовые суперэлементы с минимальным количеством исходных данных. В данном случае в качестве суперэлемента для решения тестового примера принят куб.

Тестовый пример. Здесь приводятся результаты численного решения тестового примера. Кубик со стороной 10 мм выполнен из стали 4Х5МФС с плотностью 7850 кг/м³, модулем упругости 0,215·10¹² Па, коэффициентом Пуассона 0,3, пределом текучести 1,7 ГПа. Кубик находится в абсолютно гладких жестких направляющих и подвергается воздействию абсолютно жесткого штампа со скоростью 100 мм/с.

Анализ процесса динамического нагружения рассматриваемого образца показал, что бегущая волна давления монотонно движется вдоль выделенного элемента. Типичная картина распределения напряжений σ_{11} для момента времени 0,52 мкс приведена на рис. 5. Достоверность предложенной математической модели упругопластического деформирования твердого тела подтверждается сопоставлением полученных результатов с известным аналитическим решением [2]. За указанный интервал времени 0,52 мкс фронт волны прошел расстояние 2,7 мм. Напряжения за фронтом волны идентичны и равны $\sigma_{11} \approx 6$ МПа.

СПИСОК ЛИТЕРАТУРЫ

1. Уилкинс, М. Л. Расчет упругопластических течений / М. Л. Уилкинс // Вычислительные методы в гидродинамике. М.: Мир, 1967. С. 212–263.
2. Соболев, С. Л. Уравнения математической физики / С. Л. Соболев. М.: Наука, 1992. 432 с.

ОБ АВТОРЕ



Хакимов Аким Гайфуллинович, вед. науч. сотр. Ин-та механики УНЦ РАН, доц. каф. математики. Дипл. инж.-мат. наук по мех. жидкости и газа (Казанск. гос. ун-т, 1977). Иссл. в обл. динамики взаимод. упругих и упругопластич. тел со средой.